

# 光学陀螺仪的基本精度极限

姜亚南 范崇澄 杨雪郁

(清华大学)

**提要:** 本文讨论和比较了 Sagnac 效应的光学陀螺仪的精度基本极限, 对于一些实际问题也作了介绍。

## The fundamental precision limit of optical gyros

Jiang Yanan Fan Chungcheng Yang Xueyu

(Qinhu University)

**Abstract:** Many kinds of optical gyros based upon the Sagnac effect have been constructed. Their fundamental precision limits are discussed and compared in this article. Some practical problems are also presented.

### 一、引言

目前已出现多种基于 Sagnac 效应的光学方法, 来感测相对于惯性空间的转动。例如环形激光器、无源环形谐振腔、光纤干涉仪等。

所谓 Sagnac 效应早在 1913 年就被提出了。当一环形光路, 相对于惯性空间有一转动  $\Omega$  时 (设  $\Omega$  垂直于环路平面), 则对于顺、逆时针的光路将产生一非互易的光程差:

$$\Delta L = \frac{4A}{C} \Omega \quad (1)$$

其中  $A$  为环形光路所包围的面积,  $C$  为光速。为说明此效应, 参看图 1。在圆形环路中, 二束光同时从  $A$  点出发, 分别沿顺 ( $CW$ )、逆 ( $CCW$ ) 时针方向, 绕环形光路行进, 当环路有一转动  $\Omega$  时, 它们将不能同时回到原点。这是由于原点  $A$  在光行进一周

的时间  $t = \frac{2\pi R}{C}$  内, 已位移到  $A'$  的位置。于是在  $CCW$  光回到原点 (即  $A'$  处) 的时间内,  $CW$  光以相等的光速仅到达  $B$  点。这距离原点还相差  $\Delta L$  的距离。光程差为

$$\Delta L = 2R\Omega t = \frac{4A}{C} \Omega,$$

这就是对顺、逆光为非互易的光程差。例如

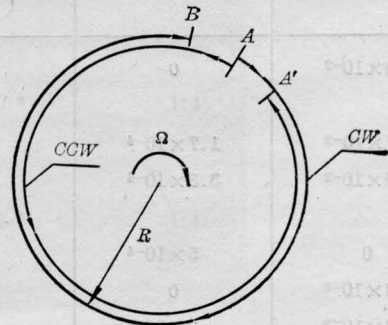
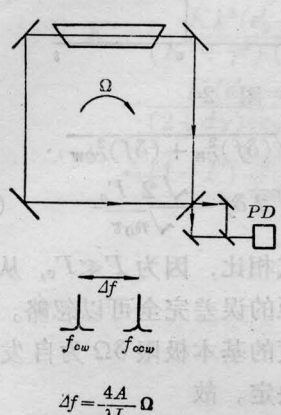
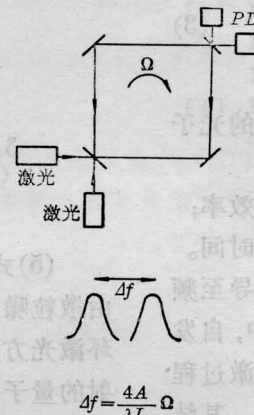
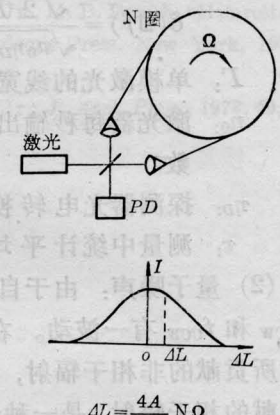


图 1

收稿日期: 1980年10月21日。

表 1

Sagnac 效 应	
有 源 方 案	无 源 方 案
环 形 激 光 器	环 形 谐 振 腔 和 光 纤 谐 振 腔
	
	光 纤 干 涉 仪
	

设环路所包围的面积  $A = 100 \text{ 厘米}^2$ ,  $\lambda = 0.63 \text{ 微米}$ , 则地球自转

$$\Omega_E = 7.3 \times 10^{-5} \text{ 弧度/秒}$$

$$\simeq 10^{-4} \text{ 弧度/秒}$$

所产生的非互易程差

$$\Delta L \simeq 10^{-12} \text{ 厘米。}$$

对于目前一般惯性导航方面的应用, 必须检测到的转动偏差  $\delta\Omega$ , 大约是地球自转  $\Omega_E$  的  $10^{-3}$  到  $10^{-6}$  量级。而对于经、纬度的测量则要求  $\frac{\delta\Omega}{\Omega_E} \leq 10^{-6}$ 。对于地球物理方面的应用, 如天体纬度、地球两极的摆动、地球自转角速度的变化、地震等测量, 则要求  $\frac{\delta\Omega}{\Omega_E} \leq 10^{-11}$ 。这意味着, 需要检测的非互易光程差  $\Delta L$  是小到  $10^{-15} \sim 10^{-23}$  厘米量级的。为了测量如此微小的, 由于 Sagnac 效应产生的非互易光程差  $\Delta L$  (或位相差  $\Delta\phi$ ), 已出现多种有源和无源方案(表 1)。本文的目的在于讨论这些方案的基本理论极限, 以及它们之间的比较。

非互易程差  $\Delta L$  的测量, 其方法可分为

两类, 如表 1 所示。下面对各种方案分别进行讨论。

## 二、环形激光器方案

### A. 特点

这是一种有源方案, 即环形谐振腔中有源。其主要优点是: (1) 无源腔的谐振曲线  $I(f)$  的半宽度  $\Gamma_0$  (无源腔带宽)。由于腔内激活介质的增益过程, 补偿了空腔的损耗, 使有源腔的  $Q$  值大为增加, 从而实际振荡激光的线宽  $\Gamma$  将大大压缩, 即有源腔的线宽  $\Gamma \ll \Gamma_0$  (见(4)式)。这将会使频率测量的误差大为减小。(2) 高灵敏度。这是由于微小的程差  $\Delta L$  转变为放大的、可直接测量的频差  $\Delta f$  的信号:

$$\Delta f = -\frac{\Delta L}{L} f = \frac{4A}{\lambda L} \Omega \quad (2)$$

当  $A = 100 \text{ 厘米}^2$ ,  $L = 40 \text{ 厘米}$ ,  $\Omega = \Omega_E \simeq 10^{-4}$  弧度/秒,  $\lambda = 0.63 \text{ 微米}$  时,

$$\Delta f = 10 \text{ 赫。}$$

## B. 基本精度极限 $\delta\Omega$

由  $\delta\Omega = \frac{\lambda L}{4A} \delta(\Delta f)$  可见, 惯性转动的测量误差  $\delta\Omega$  的极限, 直接取决于  $\delta(\Delta f)$ 。

(1) 探测器的散粒噪声 (Shot-Noise), 其对应的极限值为:

$$\delta(\Delta f) = \frac{\sqrt{2} \Gamma^*}{\sqrt{n_0 \eta_D \tau}} \quad (3)$$

其中:  $\Gamma$ : 单模激光的线宽;

$n_0$ : 激光器每秒输出到探测器的光子数;

$\eta_D$ : 探测器光电转换的量子效率;

$\tau$ : 测量中统计平均的取样时间。

(2) 量子噪声: 由于自发辐射, 导致频率  $f_{cw}$  和  $f_{ccw}$  有一波动。在激光器中, 自发辐射所贡献的非相干辐射, 相对于受激过程所贡献的相干辐射, 是一种量子噪声。其结果表现为激光频率有一随机波动, 其展宽为

$$\Gamma \approx \frac{2\pi \Gamma_c^2}{n_0} = \frac{2\pi h\nu \Gamma_c^2}{P_0} \quad (4)$$

$n_0$ : 每秒离开激光器的光子数;

$P_0$ : 激光器的输出功率;

$\Gamma_c$ : 无源腔线宽。

设  $P_0 = 1$  毫瓦 (对于  $\lambda = 0.63$  微米的光, 相当  $n_0 = 3 \times 10^{15}$ /秒),  $\Gamma_c = 10^6$  赫, 则  $\Gamma \approx 10^{-3}$  赫。  $\Gamma$  比  $\Gamma_c$  小若干个数量级 (由于外界因素引起频率  $f$  的波动, 在拍频信号

$$\Delta f = f_{ccw} - f_{cw}$$

中已抵消掉)。

当没有这种频率波动时, 相位随时间的变化规律为 (图 2):

$$\phi(\tau) = 2\pi f\tau$$

存在这种频率波动的情况下

$$\begin{aligned} \phi(\tau) &= 2\pi f\tau + \overline{\delta\phi(\tau)} \\ &= 2\pi f\tau + \sqrt{2\pi\Gamma\tau} = 2\pi f'\tau \end{aligned}$$

于是

$$\delta f = |f' - f| = \frac{\sqrt{2\pi\Gamma\tau}}{2\pi\tau} = \sqrt{\frac{\Gamma}{2\pi\tau}} = \frac{\Gamma_c}{\sqrt{n_0\tau}}$$

即在量子噪声下, 环激光输出的拍频信号  $\Delta f$  的波动为

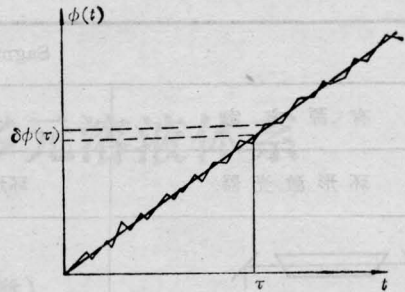


图 2

$$\begin{aligned} \delta(\Delta f) &= \sqrt{(\delta f)_{cw}^2 + (\delta f)_{ccw}^2} \\ &= \sqrt{2} \delta f = \frac{\sqrt{2} \Gamma_c}{\sqrt{n_0\tau}} \quad (5) \end{aligned}$$

(5)式与(3)式相比, 因为  $\Gamma \ll \Gamma_c$ , 从而由散粒噪声所导致的误差完全可以忽略。即环激光方案, 精度的基本极限  $\delta\Omega$  为自发辐射的量子噪声所决定。故

$$\delta\Omega = \frac{\lambda L}{4A} \frac{\sqrt{2} \Gamma_c}{\sqrt{n_0\tau}} \quad (6)$$

由于自发辐射是不可避免的, 因此由式(6)所决定的  $\delta\Omega$  是可能达到的最小极限。

设:  $\lambda = 6.3 \times 10^{-5}$  厘米,  $A = 100$  厘米<sup>2</sup>,  $L = 40$  厘米,  $\Gamma_c = 10^6$  赫,  $P_0 = 1$  毫瓦,  $\tau = 1$  秒, 则  $\delta\Omega \approx 10^{-3} \Omega_E \approx 0.015$  度/小时。

对于一台具体的环形激光器, 只要测出其空腔带宽  $\Gamma_c$ , 输出功率  $P_0$ , 就可以知道它所能达到的极限精度。而减小  $\Gamma_c$  (即增大无源腔的  $Q$  值), 提高输出功率  $P_0$ , 增大取样时间  $\tau$ , 其  $\delta\Omega$  就会相应地减小。

$\Gamma_c$  与  $n_0$  都与激光器的损耗及增益有关。以一实际四频差动激光器为例, 设  $L = 60$  厘米, 比例系数  $\Delta f/\Omega = 1$  赫/度/小时。由于腔中插入光学元件, 其单程总损耗为 2%, 则其  $\Gamma_c = 1.6$  兆赫。又输出功率为 0.1 毫瓦, 则当  $\tau = 1$  秒时,  $\delta\Omega \approx 0.1$  度/小时。

这是实验工作中所要注意的。由于激光陀螺实验精度 (随机漂移) 已接近量子噪声极限 (当  $\tau = 1$  秒时, 拍频  $\Delta f$  的漂移在 0.2 ~ 0.3 度/小时之间), 在继续排除其它误差源

\* (3) 式的简单证明与 (12) 式类似。



时,要注意到这种随机的量子噪声。它在总误差中已占有一可观的份额,而这是不能排除的。同时要考虑的是,选择合适的偏频方案,改善激光器的性能(增、损比率)以获得较小的 $\delta\Omega$ 值。

### C. 主要实际问题

当然环形激光器还存在一系列的误差源。只有克服了这些误差源,才能逐步趋近于(6)式的理论极限。这里的误差源主要是由于增益介质引入谐振腔内所带来的,有拍频的闭锁;增益介质流动所引入的 Langmuir 流效应;模的排斥和牵引;温度效应等。可见有源腔带来的即有利也有弊。

例如,由于腔内损耗的非均匀性及反向散射的存在,在行波腔的自洽场方程中引入一反向行波的耦合项。其结果是使陀螺公式 $\Delta f = \frac{4A}{\lambda L} \Omega$ 中增加了新的非线性项,即图3中 $\Delta f - \Omega$ 曲线偏离直线而出现一闭锁区( $+\Omega_L \rightarrow -\Omega_L$ )。为克服这一现象,采用一系列恒定或交变的非互易偏频方法。如机械抖动, Kerr 磁镜, Faraday 效应(四频差动陀螺)等(图3)。

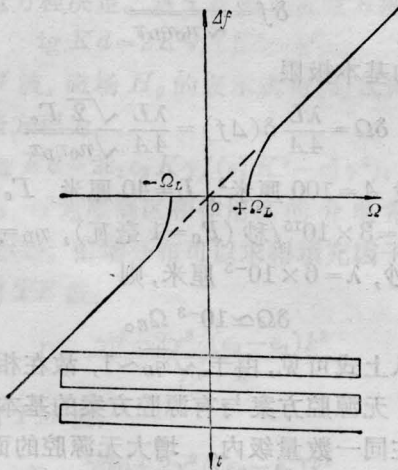


图 3

## 三、无源环形谐振腔方案<sup>[4]</sup>

### A. 特点

这里对转动的传感元件是一闭合的无源环形腔,当环腔无转动时,此环腔沿顺、逆时针方向的谐振曲线 $I(f)$ 是简并的(图4)。而当环腔在惯性空间有一转动 $\Omega$ 时,由于 Sagnac 效应,顺、逆时针的空腔谐振曲线发生分裂,其峰值间隔为

$$\Delta f = f_{ccw} - f_{cw} = \frac{4A}{\lambda L} \Omega. \quad (7)$$

它与有源腔的不同是:在空腔的情况下,并没有光振荡产生及输出。从而必须采用外部的办法去探测这种空腔谐振曲线的分裂。例如可以采用图5所示的方法。令一频率为 $f_0$ 的激光束经分光镜 $M_1$ 后,再分别经调制频率为 $f_1$ 及 $f_2$ 的声光调制器 A/O 转变成频率为 $f_0+f_1$ ,  $f_0+f_2$ 的行波,沿逆、顺时针方向注入空腔。而从空腔的另一端 $f_0+f_1$ 和 $f_0+f_2$ 光分别取样,输出到光电探测器 $PD_1$ 和 $PD_2$ 上。其输出光强取决于探测光频与相应的空腔调谐曲线 $I_{cw}(f)$ ,  $I_{ccw}(f)$ 在频率轴上的相对位置。如当 $f_0+f_2$ 与 $I_{cw}(f)$ 中心频率重合时, $PD_2$ 上接收到最大的光强。于是通过 $PD_2$ 、伺服系统 B 及压电元件

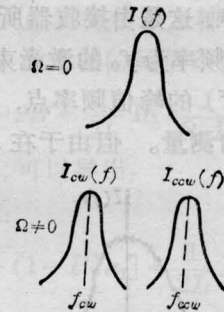


图 4

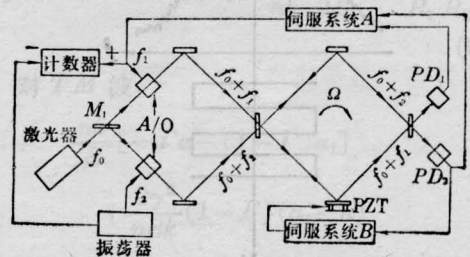


图 5

PZT 来调整空腔腔长, 直到使  $I_{cw}(f)$  的峰值频率与探测光频  $f_0+f_2$  重合。同时再用  $PD_1$  和  $PD_2$  输出的差动信号去推动伺服系统  $A$  来调整  $f_1$ , 从而通过  $A/O$  来调整光频  $f_0+f_1$ , 使它也落在  $I_{ccw}(f)$  曲线的峰值上, 这时差动信号为零。也即通过两套闭环控制系统, 使  $f_0+f_1$  和  $f_0+f_2$  分别与  $I_{ccw}(f)$  和  $I_{cw}(f)$  的峰值重合。于是在计数器上读出  $f_2-f_1=4f$ 。从而实现了用外部的被动方法探测空腔的频差  $\Delta f$  (或程差  $\Delta L$ )。

这种无源方案与有源方案的差别就在于: 在有源方案中, 与  $\Delta L$  相应的频差  $\Delta f$  是传感元件 (环激光) 本身所输出的, 而在无源方案中, 则是必须用外部的去探测的。那么在讨论测量精度的基本极限时, 其空腔谐振频率的探测误差, 必将起主要作用 (而在有源方案中这项可以略去, 如 (3) 式可略)。即空腔谐振线宽  $\Gamma_c$  和探测器散粒噪声将成为主要的问题。

### B. 基本精度极限

图 6 所示, 是经光电探测器后的空腔调谐曲线  $I(f)$ , 其半宽度为  $\Gamma_c$ 。在曲线上迭加有散粒噪声, 这是由接收器所引入的。前面已说明, 用频率为  $f_0$  的激光束跟踪无源腔谐振曲线  $I(f)$  的峰值频率点, 从而实现无源腔频差的测量。但由于在  $I(f)$  曲线的

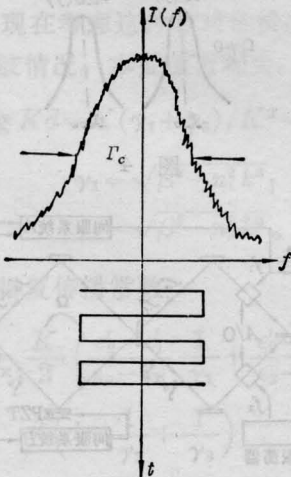


图 6

峰值处, 其斜率趋于零, 所以频率的跟踪精度必然很低。在实际测量中是采用交流调制的技术, 例如加一方波调制, 如图 6。只有当方波调制信号的二顶线对称地处在峰值两侧时, 输出讯号才趋于零。这样, 实际工作点就在谐振曲线  $I(f)$  的两侧, 斜率  $K$  较大的位置上。这时, 由于上述噪声  $N$  所引入的频率  $f$  的波动  $\delta f = \frac{N}{K}$ 。近似地将此谐振曲线看为三角形函数, 则  $K \approx \frac{I}{\Gamma_c}$ ,  $I$  为峰值处电信号幅度。则有

$$\delta f = \frac{\Gamma_c}{I/N} \quad (8)$$

而散粒噪声

$$N \approx \sqrt{\frac{eI}{\tau}} \quad (9)$$

这里, 信号  $I = n_0 \eta_D e$ ,  $e$  为电子电量,  $\eta_D$  为光电探测器的量子效率,  $n_0$  为每秒到达探测器的光子数,  $\tau$  为测量取样时间。

于是, 在散粒噪声下的信噪比

$$\frac{I}{N} = \sqrt{n_0 \eta_D \tau} \quad (10)$$

且

$$\delta f = \frac{\Gamma_c}{\sqrt{n_0 \eta_D \tau}} \quad (11)$$

精度的基本极限

$$\delta \Omega = \frac{\lambda L}{4A} \delta(\Delta f) = \frac{\lambda L}{4A} \frac{\sqrt{2} \Gamma_c}{\sqrt{n_0 \eta_D \tau}} \quad (12)$$

设  $A = 100$  厘米<sup>2</sup>,  $L = 40$  厘米,  $\Gamma_c = 10^6$  赫,  $n_0 = 3 \times 10^{15}$  / 秒 ( $P_0 = 1$  毫瓦),  $\eta_D = 0.3$ ,  $\tau = 1$  秒,  $\lambda = 6 \times 10^{-5}$  厘米, 则

$$\delta \Omega \approx 10^{-3} \Omega_E$$

从上式可见, 由于  $\sqrt{\eta_D} \sim 1$ , 故在相同条件下, 无源腔方案与有源腔方案的基本精度极限在同一数量级内。增大无源腔的面积, 增强探测激光的功率, 延长取样时间, 减小腔的线宽或减小选用的波长都可降低  $\delta \Omega$  值。例如, 对于  $A = 30$  米  $\times$  30 米的大腔, 选用  $P_0 = 4$  瓦的单模激光,  $\tau = 1$  小时, 腔镜反射率  $R = 0.995$ 。则  $\delta \Omega \approx 10^{-11} \Omega_E$ 。但在有源激

光陀螺中,由于单模的要求,其面积与功率都不可能随意增大,  $\delta\Omega$  也不可能大幅度减小。

无源谐振腔陀螺,由于腔内无源,从而避免了在环激光中,增益介质所引入的多种误差源。但它所存在的问题是反馈环的误差,高阶横模的耦合等问题。

#### 四、多圈光纤谐振环方案

当忽略腔内光纤损耗,只考虑透射损耗的情况下,无源腔的线宽反比于腔长\*。则用  $N$  圈光纤谐振环构成的无源腔的线宽将是一圈时的线宽  $\Gamma_c$  的  $1/N$ 。即在此情况下,其精度的基本极限为:

$$\delta\Omega = \frac{\lambda L}{4A} \frac{\Gamma_c/N}{\sqrt{n_0\eta_D\tau}} \quad (13)$$

这里,  $L$ 、 $A$ , 是一圈的长度与面积。

光纤环陀螺本身可以是一单模腔,所以没有模的耦合效应。其主要缺点在于光纤的损耗使腔的  $Q$  值降低。它的技术难点是光纤的性能、耦合等。当然所用激光的线宽必须很窄,以避免色散效应。光纤环陀螺示意图如图 7。

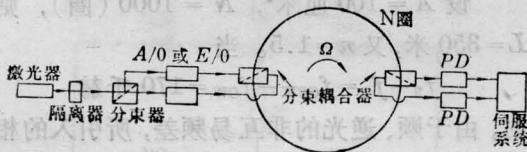


图 7

#### 五、多圈光纤干涉仪方案

##### A. 基本精度极限 $\delta\Omega$

$N$  圈光纤绕在面积为  $A$  的圆柱上,则有

$$\Delta L = \frac{4A}{c} N\Omega \quad (14)$$

$$\delta\Omega = \frac{c}{4AN} \delta(\Delta L) \quad (15)$$

由于散粒噪声

$$\delta(\Delta L) = \frac{\lambda/2}{I/N} = \frac{\lambda/2}{\sqrt{n_0\eta_D\tau}} \quad (16)$$

$$\delta\Omega = \frac{c}{4AN} \frac{\lambda/2}{\sqrt{n_0\eta_D\tau}} \quad (17)$$

设进入光电探测器  $PD$  的激光功率

$$P_0 = n_0 h\nu = 1 \text{ 毫瓦,}$$

$$A = 100 \text{ 厘米}^2,$$

$$\lambda = 6 \times 10^{-5} \text{ 厘米,}$$

$$\tau = 1 \text{ 秒,}$$

$$\eta_D = 0.3,$$

$$N = 1000 \text{ (圈)}$$

则当  $\Omega = \Omega_E$  时,

$$\Delta L \approx 10^{-9} \text{ 厘米} \approx 2 \times 10^{-5} \lambda.$$

而基本精度极限

$$\delta\Omega \approx 10^{-3} \Omega_E.$$

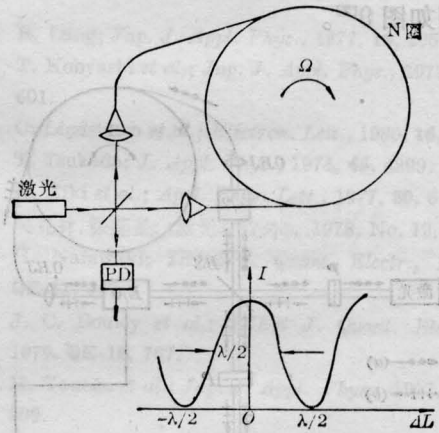


图 8

##### B. 测量方法

在光纤干涉仪中,尽管顺、逆光的非互易光程差  $\Delta L$  被放大了  $N$  倍,但为实现如此小的程差测量,一般采用零相位技术。即用另一种非互易的相移来补偿待测的相差。

由顺时针光波的位相

$$\phi_{cw} = \frac{2\pi}{c} (fnL)_{cw},$$

及逆时针光波的位相

$$\phi_{ccw} = \frac{2\pi}{c} (fnL)_{ccw},$$

\* 这在讨论精度的理论极限时是允许的。



可见,实现这种非互易的相移,无非利用以下三类非互易效应。

(1) 非互易程差:

$$\Delta\phi_L = \frac{2\pi}{c} f n (L_{CCW} - L_{CW}) \quad (18)$$

非互易折射率差:

$$\Delta\phi_n = \frac{2\pi}{c} f L (n_{CCW} - n_{CW}) \quad (19)$$

非互易光频差:

$$\Delta\phi_f = \frac{2\pi}{c} n L (f_{CCW} - f_{CW}) \quad (20)$$

为实现非互易的程差  $\Delta\phi_L$ , 可采用机械转动及抖动。显然这是不甚理想的。而实现非互易的折射率差, 办法很多, 如磁光效应 (Faraday, Kerr 效应), 电光效应等。其示意图如图 9<sup>[2]</sup>。

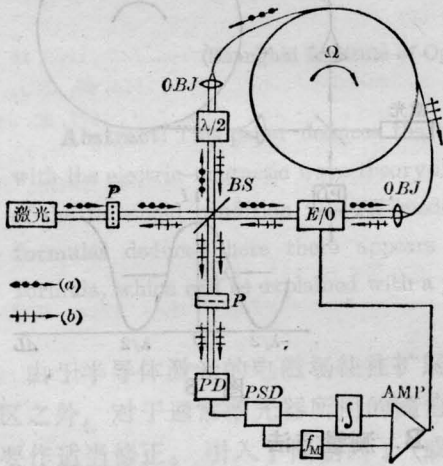


图 9 用电光技术测量非互易相移 (非互易折射率方法)

P—偏振片 BS—分光镜 PD—光电探测器  
OBJ—40×物镜 E/O—电光元件 λ/2—半波片  
PSD—相敏检波  
(a) ---S 线偏光 (b) H---P 线偏光

$$\Delta\phi_n = \frac{2\pi}{c} f L_{E/O} (n_P - n_S) \quad (21)$$

这里,  $L_{E/O}$  是电光元件 E/O 的长度,  $(n_P - n_S)$  是电光元件对 S、P 偏振光的折射率之差。由电光调制器产生的非互易相移

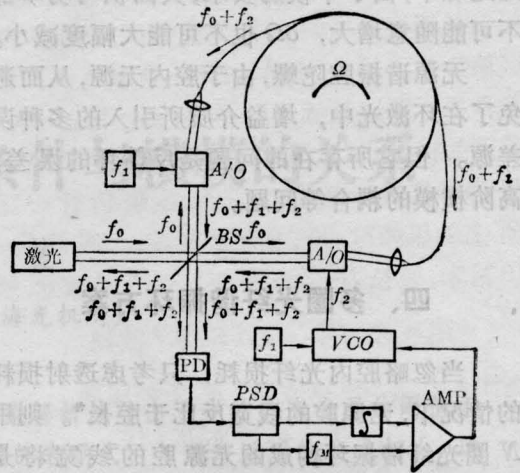


图 10 用声光技术测量非互易相移 (非互易光频方法)

A/O—声光频移器 VCO—电压控制振荡器  
其余同上图

来抵消由于转动所产生的相移, 实现零相位跟踪。

非互易光频差  $\Delta\phi_f$  的方案<sup>[2]</sup>, 可以在光路中插入一声光移频器 A/O。使光纤中运行的顺、逆光的频率产生一差值, 从而产生相移。其方案示意如图 10, 此时光频差式中  $n$  为光纤折射率,  $L$  为光纤总长度。

设  $A = 100$  厘米<sup>2</sup>,  $N = 1000$  (圈), 则  $L = 350$  米, 又  $n = 1.5$ 。当

$$f_2 - f_1 = f_{CCW} - f_{CW} = 170 \text{ 千赫}$$

时, 由于顺、逆光的非互易频差, 所引入的相移  $\Delta\phi_f = \frac{\pi}{2}$ 。

### C. 主要问题:

选用适当的非互易程差  $\Delta L$  的测量技术, 适当的偏振控制, 以避免光纤中的双折射、耦合与输出; 上述各种非互易效应的漂移; 光纤的温度效应及损耗等。

## 六、各种光陀螺方案精度极限的综合与比较

列于表 2, 比较 A、B、C、D 四种方案可见如下。

表 2

A 环激光	$\delta\Omega = \left(\frac{\lambda L}{4A}\right) \frac{\sqrt{2} \Gamma_c}{\sqrt{n_0 \tau}} = \left(\frac{\lambda L}{4A}\right) \frac{\sqrt{2} C/LF}{\sqrt{n_0 \tau}}$ $= \beta/F$
B 无源谐振腔	$\delta\Omega = \left(\frac{\lambda L}{4A}\right) \frac{\sqrt{2} \Gamma_c}{\sqrt{n_0 \tau \eta_D}} = \left(\frac{\lambda L}{4A}\right) \frac{\sqrt{2} C/LF}{\sqrt{n_0 \tau \eta_D}}$ $= \beta/F \sqrt{\eta_D}$
C 无源谐振光 纤环(N圈)	$\delta\Omega = \left(\frac{\lambda L}{4A}\right) \frac{\sqrt{2} \Gamma_c/N}{\sqrt{n_0 \tau \eta_D}}$ $= \left(\frac{\lambda L}{4A}\right) \frac{\sqrt{2} C/LFN}{\sqrt{n_0 \tau \eta_D}} = \beta/FN \sqrt{\eta_D}$
D 光纤干涉仪 (N圈)	$\delta\Omega = \left(\frac{\lambda L}{4A}\right) \frac{C/2LN}{\sqrt{n_0 \tau \eta_D}} = \left(\frac{\lambda L}{4A}\right) \frac{C/2LN}{\sqrt{n_0 \tau \eta_D}}$ $= \beta/2 \sqrt{2} N \sqrt{\eta_D}$

$$F = \frac{C}{L\Gamma_c} \quad \beta = \left(\frac{\lambda L}{4A}\right) \frac{\sqrt{2} C/L}{\sqrt{n_0 \tau}}$$

L: 一圈长度,  $\Gamma_c$ : 一圈空腔带宽, C: 光速

(1) A 是有源方案, 其它三种都是无源方案。A 方案中, 传感器本身就有线宽很窄的激光输出, 从而, 它的精度受限于自发辐射的量子噪声。而其它三种被动方案, 则受限于散粒噪声, 因而包含探测器的量子效率  $\eta_D$  因子。

(2) A、B、C 三种方案的精度极限中都包含优值系数 F, 而 D 中不包含。这是由于三者都属于谐振腔的工作状态, 必然包含反映腔的质量的参量 F (F 正比于腔的 Q 值)。F 越大, 则  $\delta\Omega$  越小。

设环激光  $L=4 \times 10$  厘米,  $\Gamma_c=10^6$  赫, 则  $F=7.5 \times 10^2$ 。对于同样面积的光纤干涉仪,  $N=500$  (圈) 时, 将能达到上述环激光所相当的极限精度。

(3) 有源腔激光陀螺, 至今已有近 20 年的发展历史。在波音 757/767 上装备激光陀螺<sup>[6]</sup>, 标志它已进入实用阶段。并由于它的特点, 在广泛的领域内, 有取代机械陀螺的趋势。从研究现状看, 它的精度已达到  $10^{-3} \sim$

$10^{-4} \Omega_E$  量级 ( $\tau=1$  小时)。由于上面提到的原因, 它的极限精度已不太可能有更明显的减小。

B 方案, 从美国麻省理工学院 S. Ezekiel 教授在  $70 \times 70$  厘米<sup>2</sup> 的无源腔上的研究现状看, 已达到  $3 \times 10^{-5} \Omega_E$  的水平 ( $\tau=1$  小时)。而腔的大小和输出功率  $P_0$ , 在原理上并没有限制, 所以它的潜力仍很大。但由于它面积大, 对工作条件的要求高等局限, 可以期望在角度测量, 地球物理测量等高精度的领域发挥作用。

至于 D 方案, 尚处于初期研制阶段。目前已达到  $1 \sim 0.1 \Omega_E$  ( $\tau=10$  秒), 预期将有很大的发展。

## 七、未来

尽管光纤干涉仪, 目前所达到的灵敏度还比环形激光器低三个数量级, 但可以预见, 采用半导体激光器和集成光学技术的集成光纤传感器, 将构成全固态、低成本、小体积、高灵敏度的光陀螺。此外也可能是使用波长  $\lambda \sim 1 \text{ \AA}$  的中子波陀螺仪。

本文主要参考美国麻省理工学院教授 S. Ezekiel 的报告 [1], [2], 并曾与教授本人讨论, 在此表示感谢。

## 参 考 文 献

- [1] S. Ezekiel; Optical "Gyroscopes", ICL' 80, p 167. 《激光》, 1980, 7, No. 5~6, 167.
- [2] J. L. Davisand, S. Ezekiel; Proceedings of the Society Photo-Optical Instrumentation Engineers Volume 157 "Laser Inertial Rotation Sensors" (1978).
- [3] Amnon Yariv, "Quantum Electronics", Second Ed. p. 303.
- [4] S. Ezekiel, S. R. Balsomo; Appl. Phys. Lett., 1977 (May), 30, No.9, 478~480
- [5] 王竹溪; 《统计物理学导论》, p. 155.
- [6] Laser Focus, 1979, 15, No. 2, 26.